

# Finite elastic-plastic deformations (BMEGEMMDKPL)

## I. Homework

Szász Zsolt  
KRCH5Q

April 4, 2025

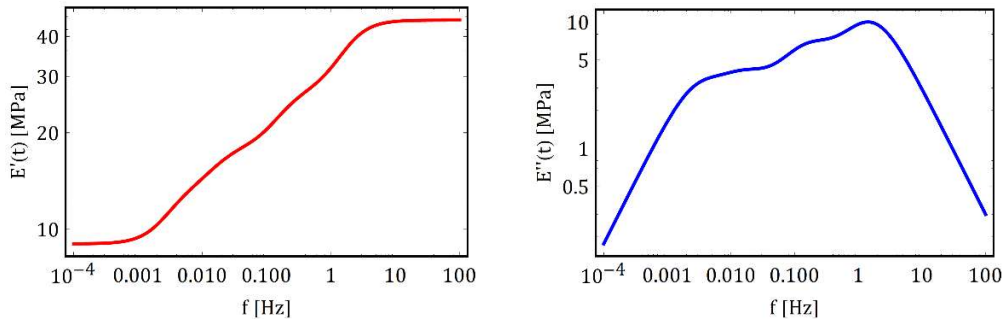
## Házi feladat leírás

Egy gumyszerű alapanyag viselkedését viszko-hiperelasztikus modellel kívánjuk modellezni. A mechanikai modellezés során élünk azzal a közelítéssel, hogy az anyag térfogati szempontból összenyomhatatlan. Az anyag tisztán rugalmas viselkedését a „végtelen lassú” terhelés esetén elsőrendű Ogden-féle hiperelasztikus modellel írjuk le az alábbi paraméterekkel:

$$W(\lambda_1, \lambda_2, \lambda_3) = \frac{2\mu_1}{\alpha_1^2} (\lambda_1^{\alpha_1} + \lambda_2^{\alpha_1} + \lambda_3^{\alpha_1} - 3)$$

$$\mu_1 = 3 \text{ MPa}, \quad \alpha_1 = 0.5$$

Az alapanyagon DMA méréseket végeztünk egytengelyű terhelés alkalmazásával, aminek eredményeként kimértük a tárolási és veszteségi modulusok frekvenciafüggését, amit az alábbi ábra szemléltet log-log skála alkalmazásával. A nyersadatokat a kiíráshoz kapcsolódó CSV file-ok tartalmazzák, ahol az első oszlop a frekvencia Hz-ben, a második oszlop pedig a mért érték MPa-ban. A DMA mérést a  $\lambda = 1$  állapot körül végeztük el kis deformációk alkalmazásával, vagyis a modulusra kapott értékek a *ground-state* értékeknek felelnek meg.



Illesszen negyedrendű Prony-sort a DMA mérés eredményeire és adja meg a Prony-sorban szereplő relatív modulusokat és az időállandókat. Ennek eredményeképpen kiadódik a 3D viszko-hiperelasztikus anyagmodell összes paramétere.

Az alapanyagon egytengelyű terhelési programot írunk elő, ahol a mérnöki alakváltozás időbeli lefutását az alábbi függvény adja meg:

$$15t \cdot \exp[-2t] - 0.09t$$

Határozza meg a terhelés során keletkező Cauchy féle feszültségkomponens időbeli változását a 3D anyagmodell felhasználásával. Ábrázolja a megoldást a  $t = 0 \dots 10$  s tartományon  $t - \sigma$  és  $\lambda - \sigma$  koordináta-rendszerekben. Adja meg a Cauchy-féle feszültség numerikus értékét  $t = 10$  s esetén.

A megoldás előállításához bármilyen numerikus sémát használhat, lényeg, hogy a feszültségre kapott eredmény konvergált eredménynek legyen tekinthető. A numerikus séma finomításával a feszültség már ne változzon a harmadik tizedesjegy után a  $t = 10$  s helyen.

A teljes számítás menetéről részletes dokumentációt készítsen az egyenletek részletes felírásával és mindenhol szöveges magyarázattal, hogy mit miért csinál. Minden részeredményt adjon meg.

# 1 Determination of the Prony parameters

The Prony parameters are used to describe the viscous behavior of materials. We can determine them by fitting the viscoplastic model's solution to the DMA experiment data. The measured quantities is the storage modulus  $E'$  and the loss modulus  $E''$ , as shown in the Figure 1.

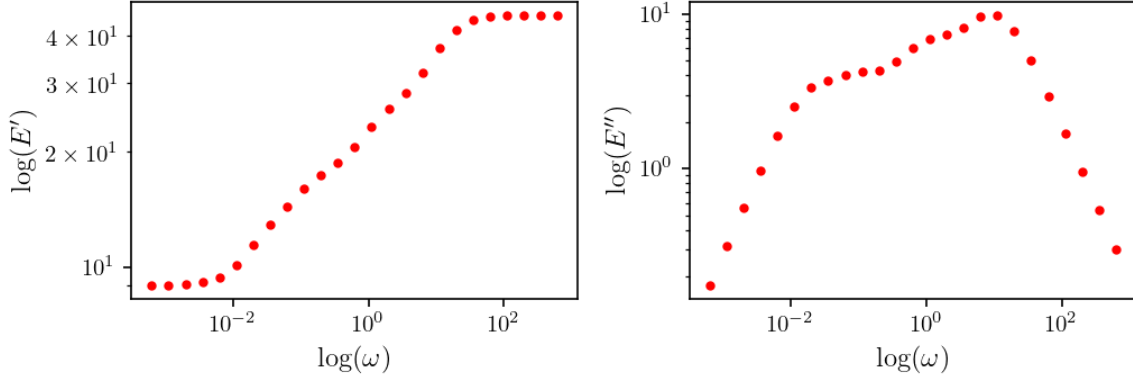


Figure 1: Virtual DMA experiment data

We know that the storage modulus approaches the instantaneous modulus as the frequency increases, therefore the instantaneous modulus can be read from the figure as

$$\lim_{\omega \rightarrow \infty} E'(\omega) = E_0 \approx 45 \text{ MPa.} \quad (1)$$

If relaxation modulus is expressed with an  $N$ th order Prony-series, the relative storage modulus  $E'/E_0$  and the relative loss modulus  $E''/E_0$  can be expressed as a function of the frequency  $\omega$  as

$$\frac{E'(\omega)}{E_0} = 1 - \sum_{i=1}^N \frac{1}{1 + \tau_i^2 \omega^2} e_i, \quad (2)$$

$$\frac{E''(\omega)}{E_0} = \sum_{i=1}^N \frac{\tau_i \omega}{1 + \tau_i^2 \omega^2} e_i, \quad (3)$$

where the  $\{e_i\}_{i=1}^N$  and  $\{\tau_i\}_{i=1}^N$  are the unknown Prony parameters. We will fit these functions on the measurement data, by optimizing the following objective function:

$$Q(\{E_i\}_{i=1}^N, \{\tau_i\}_{i=1}^N) = \frac{1}{n} \sum_{j=1}^n \left[ \left( 1 - \frac{E'(\omega_j)}{E'_j} \right)^2 + \left( 1 - \frac{E''(\omega_j)}{E''_j} \right)^2 \right]. \quad (4)$$

I used the `scipy.optimize.minimize` method for this purpose:

```
1 def fit_prony(N):
2     # Initial values
3     e = [E_storage_norm_true[0]/2] * N
4     tau = [100] * N
5     initial_guess = e + tau
6     # Conditions
7     bounds = [(0, None)] * len(initial_guess)
8     # Optimization
9     result = minimize(Q, initial_guess, bounds=bounds)
10    return result.x[0:N], result.x[N:], result.fun
```

We can repeat the optimization for different orders of the Prony series. On Figure 2. we can see how the final value of the objective function depends on the order of the chosen order of the Prony series.

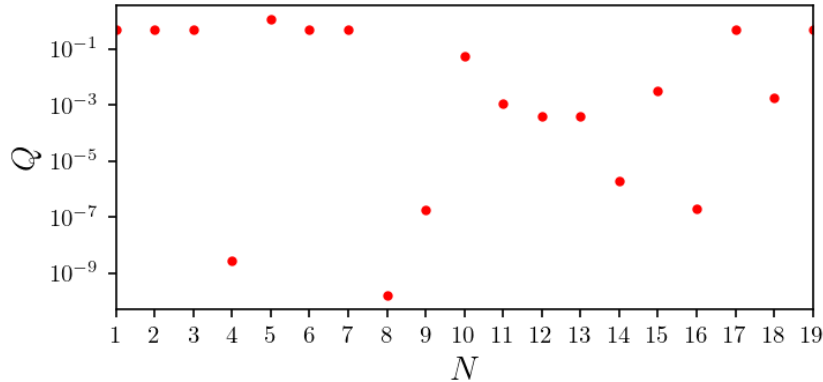


Figure 2: The value of the objective function as a function of the order of the Prony series

We can observe that the 4th and the 9th order Prony series gives the best fit. The 9th order is a bit better, but it is not worth to use such a high order, so we will use the 9th order one. The fitted 9th order Prony parameters are summarized in Table 1.

Table 1: Fitted Prony Parameters

i	Value of $e_i$	Value of $\tau_i$
1	0.1000	50.0052
2	0.2000	1.0001
3	0.1000	10.0020
4	0.4000	0.1000

We can also plot the fitted storage and loss moduli against the measured data. The fitted curves are shown in Figure 3.

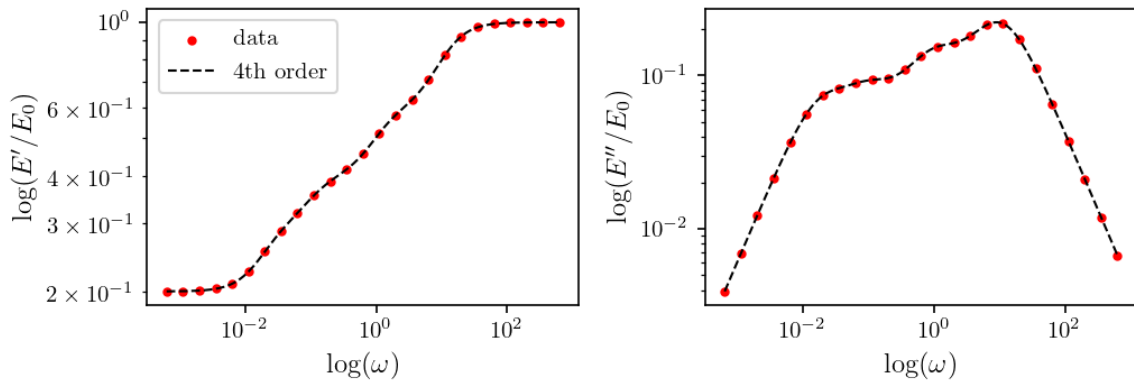


Figure 3: Fitted storage and loss moduli

The value of the objective function for this fit is  $Q = 2.8 \times 10^{-9}$ , we accept this as a good fit.

We have an incompressible material, which means the deviatoric part of the stress determines the volumetric part, therefore we will assume that the relaxation characteristic defined by the previously calculated Prony parameters, belongs to the deviatoric behaviour, which results

$$\{g_i\}_{i=1}^N = \{e_i\}_{i=1}^N. \quad (5)$$

## 2 The instantaneous stress response

The purely elastic behavior of the material (under 'infinitely slow' loading) is described using a first-order Ogden-type hyperelastic model, which can be expressed as

$$W(\lambda_1, \lambda_2, \lambda_3) = \frac{2\mu_1}{\alpha_1^2} (\lambda_1^{\alpha_1} + \lambda_2^{\alpha_1} + \lambda_3^{\alpha_1} - 3). \quad (6)$$

We know that uniaxial loading is prescribed. The solution of this model for the uniaxial loading was shown at continuum mechanics lectures. The Cauchy stress solution can be expressed as

$$\sigma_0 = P_0 \cdot \lambda = \frac{2\mu_k}{\alpha_k} (\lambda^{\alpha_k} - \lambda^{-\frac{\alpha_k}{2}}). \quad (7)$$

The engineering strain time evolution is given as

$$\varepsilon(t) = 15t \cdot e^{-2t} - 0.09t, \quad (8)$$

Therefore, the uniaxial stretch can be expressed as

$$\lambda(t) = \varepsilon(t) + 1 = 15t \cdot e^{-2t} - 0.09t + 1$$

Substituting into the Cauchy stress equation, we can obtain the time evolution of the Cauchy stress. The result is shown in Figure 4.

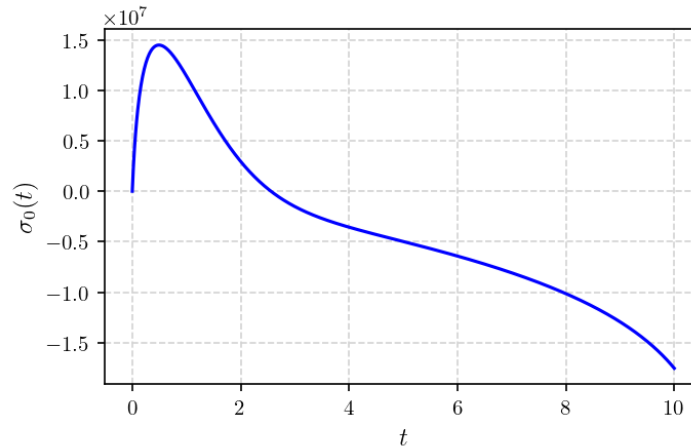


Figure 4: Instantaneous stress response

### 3 The viscoelastic stress response

For uniaxial loading, the deviatoric part of the instantaneous Cauchy stress tensor can be expressed as

$$\mathbf{s}_0(t) = \sigma_0(t) \begin{bmatrix} 2/3 & 0 & 0 \\ 0 & -1/3 & 0 \\ 0 & 0 & -1/3 \end{bmatrix} \quad (9)$$

We know from the lecture that, the deviatoric part of the stress can be expressed as

$$\mathbf{s}(t) = \mathbf{s}_0(t) - \text{dev} \left[ \mathbf{F}(t) \left( \sum_{i=1}^N \frac{e_i}{\tau_i} \int_0^t \mathbf{F}^{-1}(t-s) \mathbf{s}_0(t-s) \mathbf{F}^{-T}(t-s) e^{-\frac{s}{\tau_i}} ds \right) \mathbf{F}^T(t) \right]. \quad (10)$$

We know that the deformation gradient for uniaxial extension looks like

$$\mathbf{F}(t) = \mathbf{F}^T(t) = \begin{bmatrix} \lambda(t) & 0 & 0 \\ 0 & \lambda^{-1/2}(t) & 0 \\ 0 & 0 & \lambda^{-1/2}(t) \end{bmatrix}, \quad (11)$$

and its inverse looks like

$$\mathbf{F}^{-1}(t) = \mathbf{F}^{-T}(t) = \begin{bmatrix} \lambda^{-1}(t) & 0 & 0 \\ 0 & \lambda^{1/2}(t) & 0 \\ 0 & 0 & \lambda^{1/2}(t) \end{bmatrix}. \quad (12)$$

Everything is given to determine the deviatoric part of the stress. The only thing we need to do is to choose a numerical method to solve the convolutional integral. I used simple discrete convolution:

```

1 # self defined convolution function
2 def conv(f,g,t):
3     dt = t[1] - t[0]
4     ret = [
5         np.sum(f(t[k] - t[:k]) * g(t[:k]) * dt,axis=-1)
6         for k in range(len(t))
7     ]
8     return np.array(ret).T
9
10 # placeholder for the convolution result
11 SUM = np.zeros((3,len(t)))
12
13 # calculate the convolution terms
14 for i in range(len(tau)):
15     f = lambda t: F_inv(t)*s0(t)*F_inv(t)
16     g = lambda t: np.e**(-t/tau[i])
17     SUM += e[i]/tau[i] * conv(f,g,t)
18
19 # deviatoric stress
20 s = s0(t) - dev(F(t)*SUM*F(t))

```

We can plot the deviatoric stress response as a function of time. The result is shown in Figure 5.

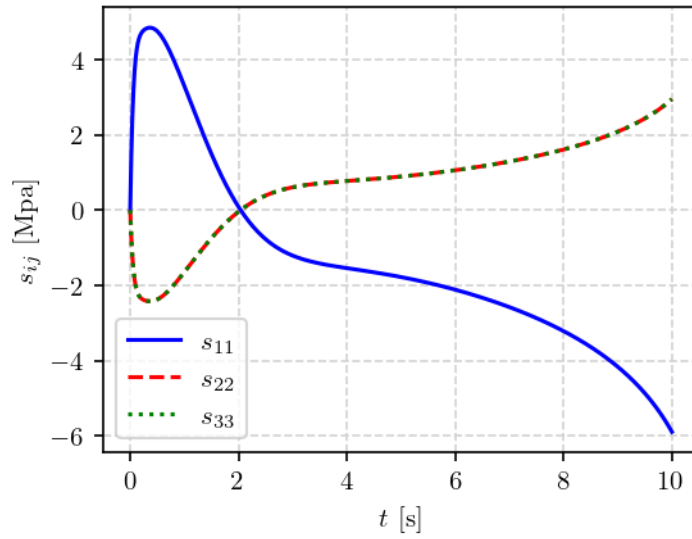


Figure 5: Deviatoric part of the stress response

The volumetric part of the stress can be calculated from the boundary conditions in the following way:

$$\begin{aligned}\sigma_{22}(t) &= s_{22}(t) + p(t) = 0, \\ \sigma_{33}(t) &= s_{33}(t) + p(t) = 0.\end{aligned}\tag{13}$$

Therefore, we can express the volumetric part of the stress as

$$\mathbf{p}(t) = -s_{22}(t)\mathbf{I}.\tag{14}$$

The viscoelastic stress response can be expressed as

$$\boldsymbol{\sigma}(t) = \mathbf{s}(t) + \mathbf{p}(t).\tag{15}$$

We can plot the result as the function of the time and the function of the stretch. The result is shown in Figure 6.

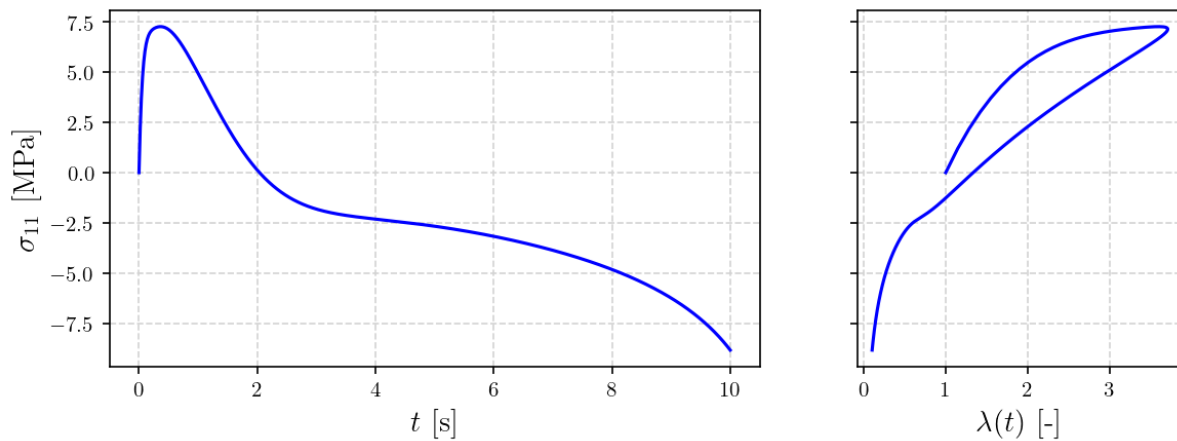


Figure 6: Viscoelastic stress response

Furthermore we can print the final value of the stress response:  $\boldsymbol{\sigma}(t = 10) = -8.84465$  [Mpa].

## References

You can find the detailed code on [GitHub](#).